

九州産業大学工学部 正員 吉村 健, 学生員 小川富士夫
 川田工業株式会社 正員 坂田正二
 有明工業高等専門学校 三宅昭春

1 まえかき

扁平な矩形やH型等の断面柱は、低風速域で前縁剝離渦励振を生じる。この種の励振は、断面の上下面の前縁剝離渦に起因するフラッタであり、カルマン渦に起因するものと区別される。

カルマン渦励振については、流体系を1自由度の自励振動系に置換し、この流体系と物体振動系とを連成フラッタとして励振の発生を説明する研究が行われていた。本研究では、前縁剝離渦励振の流体系を2自由度自励振動系に置換し、これと物体系とを連成フラッタとして励振の発生を説明することを試みる。

2 矩形柱の渦励振特性¹⁾²⁾³⁾

図1の実線の曲線は、種々の断面比 d/b の矩形柱について岡島が求めたストローハル数 $Se(d) = f_0 b / V$ を、 $Se(d)$ に変換して図示したものである¹⁾。ここに、 d は弦長、 b は高さ、 f_0 は渦脱出振動数、 V は風速。図の結果も、中村らのH型柱の結果とほぼ同様の特性を示し、図中 Kármán と記されるカルマン渦の分枝と、 $m=1$ と記される弦長1長とす前縁剝離渦の分枝が見られる。

図2の(a)×(b)は、それぞれ1:2と1:4の矩形柱に関する中村・溝田のフラッタ実験結果である²⁾。第1の発振の発生風速域の逆数 $(1/v_0 \cdot d/k, \bar{v}_0 = 1/f_0)$ と第2の発振の共振風速の逆数 $(1/v_{0r} \cdot d/k)$ を図より求め、それぞれ図1にI印と■印で示す。図より次のことがわかる。① 1:2断面の第2の発振はカルマン渦励振。② 1:2断面の第1の発振と1:4断面の第2の発振は、 $m=1$ の前縁剝離渦励振。③ 1:4断面の第1の発振は、弦長を2長とする $m=2$ の前縁剝離渦励振。

図3の(a)×(b)の△印等は、それぞれ1:2と1:4の矩形柱の変位に対する非定常揚力の位相差 ϕ である³⁾。2種の渦励振の発生風速付近において、いずれも ϕ が急変するが、その変化量の差異に注目したい。右行の右、カルマン渦励振では ϕ が約 180° 急変するのに対し、前縁剝離渦励振の場合、約 360° も急変している。

3 2自由度系の強制振動の位相差特性

前記カルマン渦励振の数学的モデルによれば、限定的な応答特性や、 ϕ の約 180° 急変現象等がうまく説明される⁴⁾。ここでは、 ϕ が約 360° も急変する前縁剝離渦励振の場合、流体系はどのようなモデルに置換されるのであろうか？

このことを調べるために、図4に示す2自由度系の強制振動の応答を考えてみる。図5(a)は、 $P_0 \cos \omega t$ で加振した場合の、質点 m_1 の応答 $X_1 \cos(\omega t + \phi)$ の位相差 ϕ を示したものである。図中 ω_n は、1次の共振振動数であり、実線、破線、点線の順に ϕ の減衰は大きい。減衰の小さい場合、1次と2次の共振共鳴で、 ϕ が π から約 180° 急変する。いま、1次と2次の共振振動数をほぼ等しくすると、 ϕ の変化は図5(b)のようになる。減衰の小さい系では、共振共鳴において ϕ の約 360° 急変現象が認められ、前縁剝離渦励振における流体系が、共振振動数のほぼ等しい2自由度系に置換されることを図の結果は示唆している。

4 前縁剝離渦励振の数学的モデル

まず、1:2断面では、カルマン渦励振と前縁剝離渦励振が発生するので、その流体系を図6(a)のモデルに置換した。カルマン渦励振の数学的モデルについては、文献(4)を参照したい。図のモデルでは、流体系は物体系から速度 V で加振される。その結果、図中 Kármán で示されるカルマン渦系の応答 L_1 と、図中 $m=1$ (梁式) で示される前縁剝離渦系の応答 L_2 を生じ、これらが物体系に外力として作用するものと仮定した。

$$L_2^2 + a L_2 + b [1 + c(d/g)^e] [1 - f(2L_1)^2] L_1 + k_2^2 L_2 - k L_1 = 0 \quad (1)$$

$$L_3^2 + i [1 + c(d/g)^e] [1 - f(2L_1)^2] L_1 + k_3^2 L_2 - k_3^2 L_1 = -k_3^2 (C_0 x + C_0) / \rho R \omega^2 \quad (2)$$

ここに、 a, b, \dots, C_0 等の各係数は実験パラメータ⁵⁾、 $L_1 = L_3 - L_2$ 、この γ のパラメータを適当に定め、上式の定常周期解 L_2 と L_1 のこれらの総称和 $dL_1 + \beta L_2 = L_{sum}(\omega t + \phi)$ を求めた。得られた ϕ を図3(a)に太い実線で示す。

実験パラメータの物理的意味が不明瞭な点に問題があるが、本モデルの応答値と実験値とを比較的に一致している。なお、高風速域における両者の不一致は、式(2)の右辺に準定常空気をを用いたために生じたものであり、流場の非定常性を加味すれば、両者は一致してくるものと思われる。

次に、1:4断面の場合、 $n=1$ と $n=2$ の渦励振が生じるので、その流体系を図6(b)のモデルに置換した。得られた結果を図3(b)に太い実線で示す。才2の共振における ϕ の変化率については、実験値との間に差異があるが、両者の間に定性的な一致が認められる。

5 考察

前線剛性渦励振の数学的モデルを考察し、1:2と1:4の矩形柱に適用したところ、励振域における非定常揚力の位相差特性は異なる程度よく説明できることが示された。

謝辞

本研究を行なうにあたり、水大応力研の中村泰治教授に貴重な助言をいただいたことに記し、謝意を表します。

参考文献

- 1) 岡島: 日本風工学 会誌, 17号, 558.
- 2) 中村・中島・渡辺: 九州大学応用力学 研究所所報, 59号, 358.
- 3) Nakamura & Higota: Proc. ASCE, Vol. 101, No. EM6, 1975.
- 4) 中村・藤本・吉村: 才34回土木学会年次 学術講演会講演 概要集I, 354.

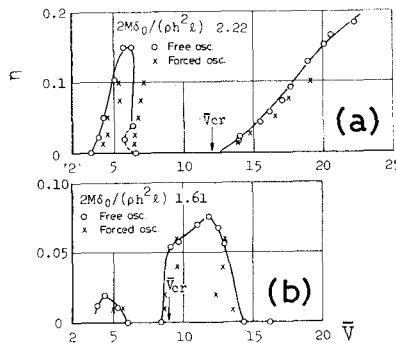


図2 矩形柱の非線形揚力の位相差特性(文献:3) (a) 1:2断面, (b) 1:4断面

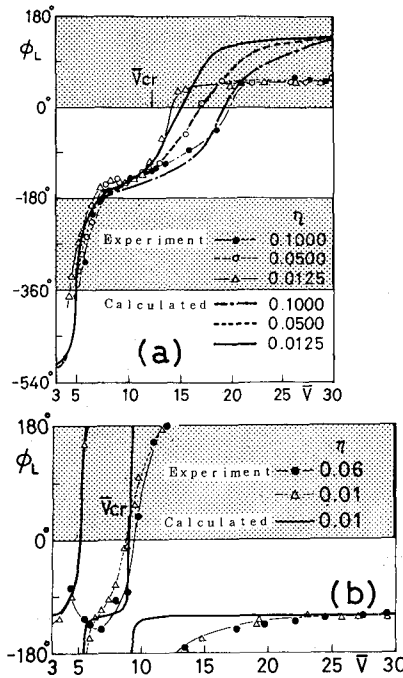


図3 矩形柱の非定常揚力の位相差特性 (a) 1:2断面, (b) 1:4断面(文献:3)

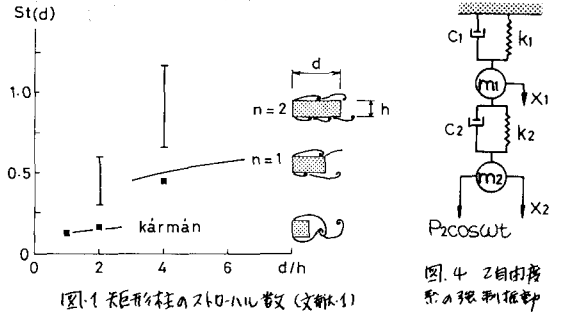


図4 2自由度系の単利振動

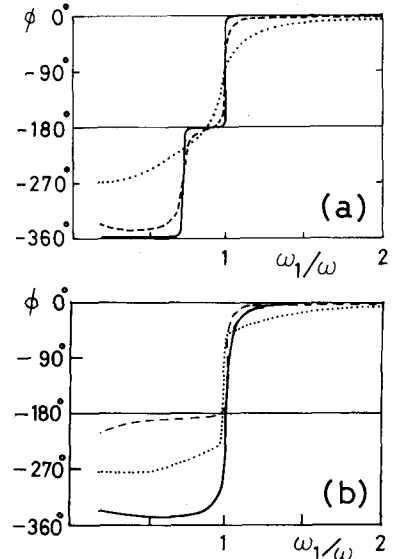


図5 2自由度系の位相差特性

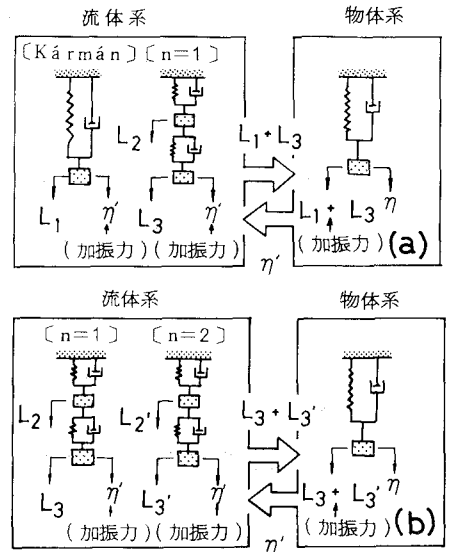


図6 矩形柱の渦励振モデル (a) 1:2断面, (b) 1:4断面